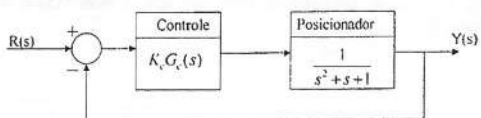


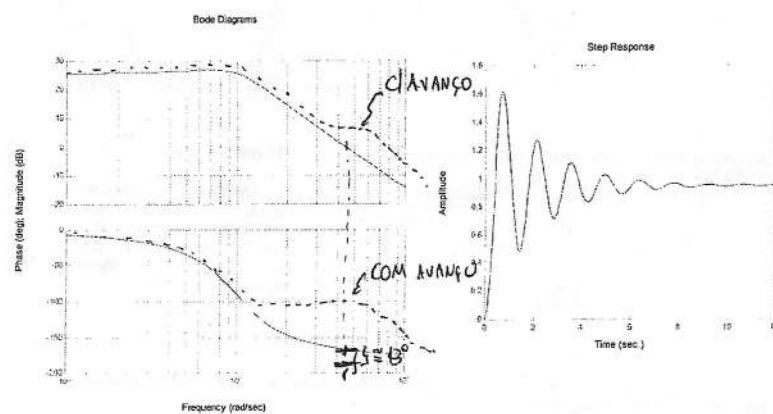
3) (Valor 3,5) Um posicionador mecânico deve ser controlado. O modelo da malha de controle, juntamente com o sistema, é dado abaixo, onde K_c é o ganho real do controlador e $G_c(s)$ sua função de transferência (com ganho unitário em baixa freqüência).



a) Calcule K_c para que o erro de posição, para referência degrau unitária, seja menor que 5%.

b) Considerando $G_c(s)=1$ e o K_c calculado em (a), o diagrama de Bode da função de malha aberta é dado abaixo. Qual a margem de ganho e de fase do sistema em malha fechada? Estes valores são coerentes com a resposta ao degrau do sistema em malha fechada, também ilustrado abaixo?

Diagrama de Bode de malha aberta

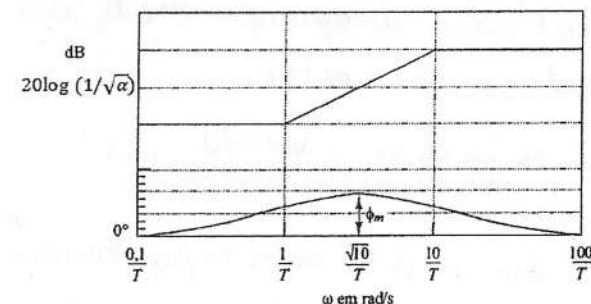


c) Esboce o diagrama de Nyquist deste sistema e analise a sua estabilidade.

e) Sabendo-se que o objetivo do controlador é aumentar a margem de FASE e que a velocidade de resposta é um fator importante no posicionamento, explique a razão de um compensador de avanço ser mais adequado do que um compensador de atraso. Esboce como o diagrama de bode ficaria alterado com a inclusão de um compensador de avanço corretamente projetado.

f) Calcule os parâmetros T e α de $G_c(s) = \frac{1+Ts}{1+\alpha Ts}$ para obter uma margem de fase de 50° .

Formulário: Bode de G_c :



$$\text{sen} \phi_m = \frac{\frac{1-\alpha}{2}}{\frac{1+\alpha}{2}} = \frac{1-\alpha}{1+\alpha}$$

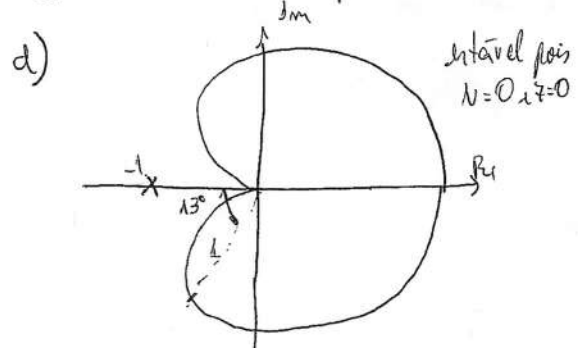
b)

$$\left| \frac{19}{(j\omega)^2 + j\omega + 1} \right| = 1 \Rightarrow \omega_c = 4,9 \text{ rad/s}$$

$$MF = \left| \frac{19}{(j\omega)^2 + j\omega + 1} \right| + 180^\circ = 13^\circ \text{ MP}$$

$|M| G = \infty$ pois a função em malha aberta não alcança -180° de fase

Corrente, pois MF é pequena, "pouca" instabilidade, baixo amortecimento, oscilação em malha fechada.



e) O comprimento de açoiso é mais adequado para melhorar as características de regime permanente, e não obtém sítio (velocidade de resposta)

O esboço está na figura do numerado.

f) MF: $50^\circ \rightarrow$ acréscimo de 37° na freg. de aquecimento

- pelo fato do comprimento de açoiso aumentar 10%, vamos considerar um aumento de 47° na freg.

$$\Rightarrow \text{sen } 47^\circ = \frac{1-\alpha}{1+\alpha} \Rightarrow \boxed{\alpha = 0,25}$$

- aumento do ganho na freg. de máximo movimento definir:

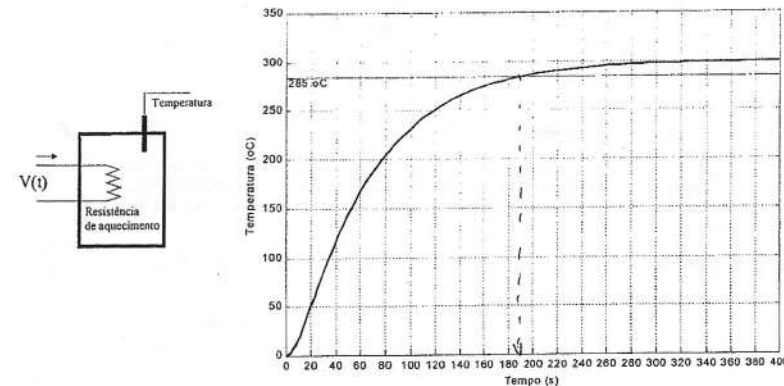
$$20 \log \frac{1}{\sqrt{2}} = 6$$

- nova freg. de aquecimento:

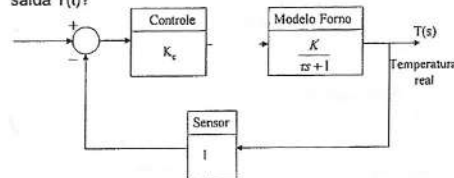
$$20 \log \left| \frac{1}{(j\omega)^2(j\omega+1)} \right| = -6 \Rightarrow \omega_c = 6,2 \text{ rad/s} \quad (\text{nova freg. de aquecimento})$$

$$\Rightarrow \boxed{\frac{10}{T} = 6,2 \Rightarrow t = 0,51s}$$

4) (Valor 2,5) Você é responsável pelo projeto de um controlador a ser empregado em um forno industrial elétrico. Devido ao seu conhecimento muito superficial sobre processos térmicos, você resolveu fazer um ensaio para determinar as características dinâmicas do forno. Para isso, aplicou uma tensão constante de 100V (AC) sobre a resistência e obteve a seguinte curva de temperatura.



a) Qual o melhor modelo de 1ª ordem que representaria a relação entre a entrada V(t) e a saída T(t)?

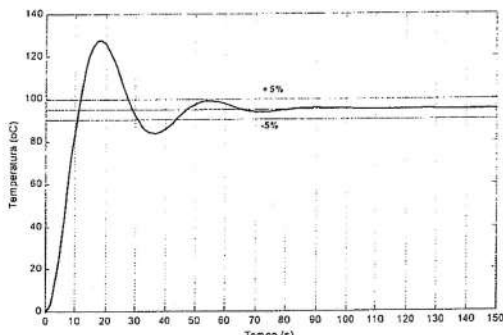


b) Utilizando o modelo acima, projete um controlador proporcional $G_c(s) = K_c$ que resulte um erro para uma referência degrau menor que 5%.

c) Qual a função de transferência em malha fechada esperada? Esboce a curva de resposta para uma entrada R(s) de amplitude 100°C.

Um engenheiro mais experiente disse que o seu projeto possui um erro, pois você desconsiderou a constante de tempo devido à resistência elétrica, por ser menor que a constante de tempo devido ao forno propriamente dito. Segundo ele, o modelo correto possui dois pólos reais, e não apenas um como foi feito no item a. Você, entretanto, argumentou que a constante de tempo devido à resistência deve ser muito menor que a devido ao forno (pois a "inércia" térmica do forno é bem maior que a da resistência).

d) Ao realizar o teste do sistema de controle, a curva de resposta obtida é apresentada abaixo, com comportamento oscilatório não previsto no item c. Apresente uma justificativa razoável para este resultado oscilatório. Para tanto, esboce o Lugar das Raízes para o sistema real (considerando também a constante de tempo mais rápida devida à resistência) e para o sistema aproximado.



e) Estime a constante de tempo da resistência elétrica.

Formulário Adicional

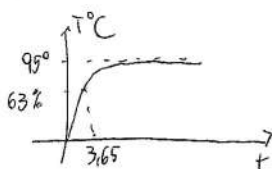
$$\text{Sistema de } 1^{\text{a}} \text{ ordem } G(s) = \frac{K}{1+Ts} ; \text{ tempo de acomodação } 5\% = 3\tau$$

$$\text{Sistema de } 2^{\text{a}} \text{ ordem } G(s) = \frac{K\omega_n^2}{s^2 + 2\zeta\omega_n s + \omega_n^2} ; \text{ tempo de acomodação } 5\% = \frac{3}{\zeta\omega_n}$$

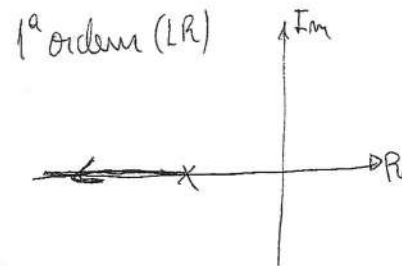
a) $K=3$ $\frac{190s}{3} = 63s$ (sfor pulo + tempo de estabilização) acerto as duas!
 $\zeta = 73s$ (sfor pulo 63,2% da resposta)

b) $P(s) = \frac{1}{s} \Rightarrow \text{less} - A \cdot \frac{1}{1+KcK} \Rightarrow Kc = 6,33$

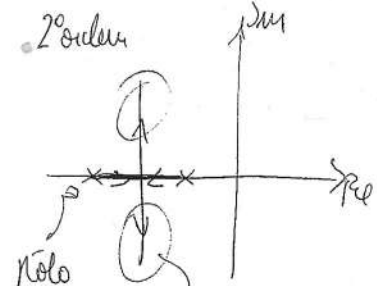
c) $\frac{T(s)}{P(s)} = \frac{K \cdot Kc}{Ts + 1 + KcK} \Rightarrow \text{Novo ganho} = \frac{KKc}{1+KKc} \rightarrow 0,95$
 novo achar tempo = $\frac{1}{1+KKc} \rightarrow 3,65s$



d)



1^a ordem (LR)



2^a ordem

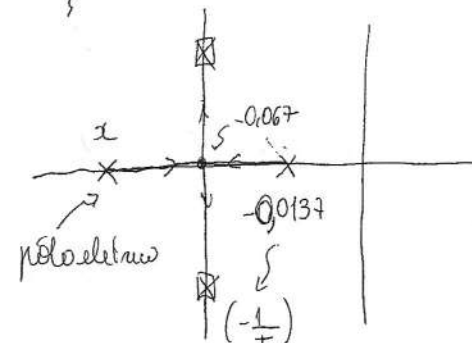
pôlo
relativo
à dinâmica
despertada

Levaram para
ganhar desvantagens
de subamostramento.

e)

$$Z = 4\zeta s \rightarrow \zeta \omega_N = 0,067$$

$\zeta \omega_N$



o L Reporte de medições entre os polos, pela cond. difusão.

logo

$$\frac{x - 0,0137}{Z} = -0,067$$

$$x = -0,1203$$

\Rightarrow pôlo eletrônico = -0,1203

detempo $\approx 8,3s$

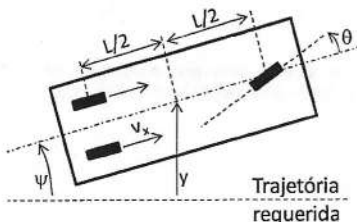
T

é mais rápida
que a termica



1) (Valor 3,5) Durante a competição no último sábado de Elementos de Máquinas, percebeu-se que a ausência da malha fechada nos protótipos impossibilitou que quase a totalidade dos mesmos conseguisse manter a trajetória requerida. Qualquer pequeno obstáculo no caminho ou desalinhamento inicial provocavam erros de trajetória que, ao longo do percurso, geravam colisões nas árvores no entorno.

Para resolver este problema, vamos projetar um controlador de trajetória. Suponha que o veículo seja dotado de um sistema de sensoriamento que meça a distância $y(t)$ à trajetória requerida (que poderia ser delineada com uma faixa branca, por exemplo). Possui também um sistema de direção na única roda frontal, e o ângulo controlado desta roda é dado por $\theta(t)$. A tração traseira impõe uma velocidade longitudinal v_x constante.



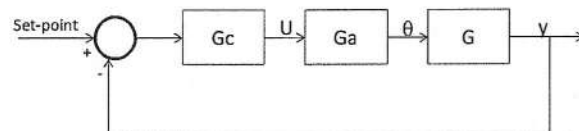
A aplicação de cinemática simples, desconsiderando possíveis escorregamentos, resulta:

$$G(s) = \frac{Y(s)}{\theta(s)} = \frac{(v_x L)s + 2v_x^2}{(2L)s^2}$$

Além disso, o sistema de direção é acionado por um sinal de comando proveniente do controlador ($U(t)$), e há um pequeno atraso de atuação. Por simplificação, será adotado:

$$G_a(s) = \frac{\theta(s)}{U(s)} = \frac{1}{\tau s + 1}$$

O objetivo aqui será o projeto do controlador G_c da malha aberta:



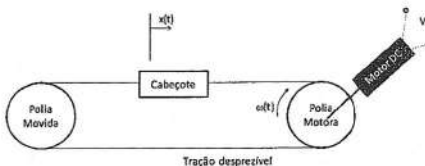
Dados os valores típicos para os protótipos $v_x = 0,33\text{m/s}$ e $L = 0,3\text{m}$, e considerando $\tau = 0,2\text{s}$, responda:

a) Faça um esboço do lugar das raízes do sistema considerando um controlador proporcional (sem compensação dinâmica). Deve ser indicada a posição dos polos e zeros bem como as assintotas. (1,0)

b) O objetivo do sistema de controle é garantir que haja erro nulo para entrada degrau e que o sistema em malha fechada apresente amortecimento maior que 0,7 e tempo de estabilização 2% menor que 0,6s. É possível obter esta especificação apenas com um controle proporcional? Justifique usando o lugar das raízes acima ou com cálculo algébrico das funções de transferência. (1,0)

c) Usando técnica baseada em lugar das raízes, projete um controlador PD $G_c(s) = K_p(1+T_d s)$ para atender os requisitos acima. (1,5)

2) (Valor 5,0) O sistema de movimentação do cabeçote de impressão de uma impressora jato de tinta é representado abaixo. Uma polia movida (apenas rolamentada) e uma polia motora (acionada por um motor DC) compõem o sistema. Ambas possuem momento de inércia $J_b = 2,5 \cdot 10^{-3} \text{ kg.m}^2$ e raio $R=0,01\text{m}$. O cabeçote possui massa $M=0,05\text{kg}$, e sua posição é dada por $x(t)$. A parte de baixo da correia possui tração nula para o sentido de movimento indicado na figura. O motor é controlado pela tensão de armadura ($V_a(t)$).



a) Baseado no seu conhecimento de modelagem de motores DC, você fez a hipótese de desprezar a constante de tempo elétrica do sistema acima e adotou um modelo do tipo $\frac{X(s)}{V_a(s)} = \frac{K_{modelo}}{s(t\tau+1)}$. Além disso, você dispunha de um aparelho experimental e excitou o sistema com tensões de armadura senoidais com amplitude 10V no intervalo de 1rad/s a 10 rad/s e registrou a leitura $x(t)$ em cada caso (x é dado em mm, e você pode trabalhar em mm no problema todo). Sabendo-se que para:

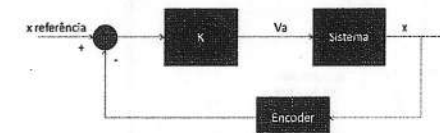
$$V(t) = 10 \cdot \sin(1t) \Rightarrow x(t) \cong 20 \cdot \sin(1t - 92^\circ)$$

$$V(t) = 10 \cdot \sin(10t) \Rightarrow x(t) \cong 2 \cdot \sin(10t - 113^\circ)$$

Obtenha os parâmetros K_{modelo} e τ do modelo do sistema (1,0).

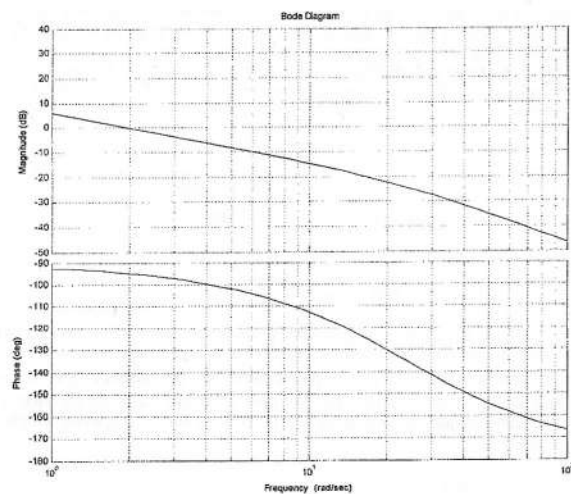
Observação: Se você não conseguiu resolver o item a, suponha $\frac{X(s)}{V_a(s)} = \frac{2}{s(0,042s+1)}$ para os itens seguintes

b) O objetivo deste sistema é fazer o cabeçote acompanhar a referência, que é bastante variável, com erro muito pequeno. Isso garante a precisão e resolução da impressora.

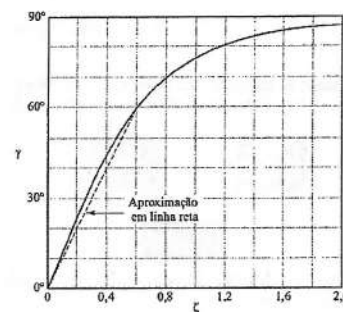


Assume-se que para uma entrada de referência do tipo $x_{ref}(t) = t \Rightarrow x(t) \cong 0,99 \cdot t$. Qual o valor do ganho de controle K necessário? (0,5)

c) Abaixo se apresenta o diagrama de Bode do sistema sem o ganho calculado em (b), ou seja, da função $\frac{X(s)}{V_a(s)}$. Utilizando o gráfico, indique a alteração neste diagrama em função do ganho calculado em (b) e obtenha (de forma gráfica) as margens de ganho e fase do sistema com o ganho do controle. Justifique suas hipóteses. Respostas sem justificativas não serão consideradas. (0,5)

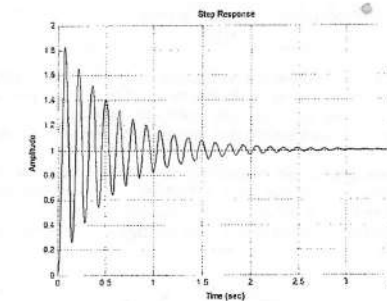


d) O sobressinal M_p é dado por $M_p = e^{-(\zeta\sqrt{1-\zeta^2})\pi}$ e a margem de fase γ é relacionada ao amortecimento em malha fechada para um sistema deste tipo pela curva abaixo.



Qual o sobressinal esperado para um degrau unitário na referência e o sistema com o controle proporcional projetado em (b)? (0,5)

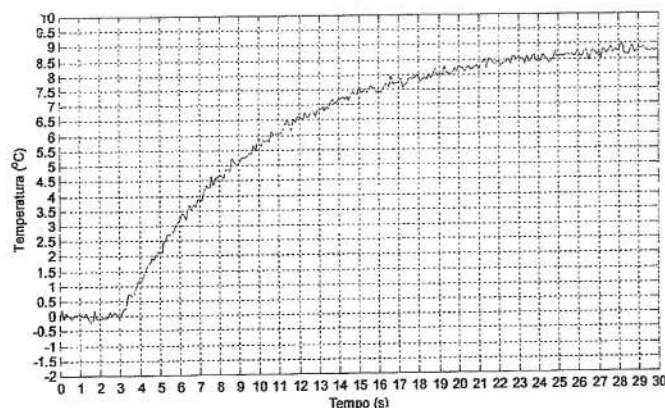
e) A resposta a um degrau unitário na referência para o sistema com o controle proporcional projetado em (b) foi verificada como abaixo. Para este sistema, a margem de fase está coerente com a esperada? Sabe-se que a constante de tempo elétrica (devido a indutância da armadura) é de 0,01s. Mostre que esta dinâmica que foi desprezada $1/(0,01s + 1)$ não seria de fato notada na identificação experimental do sistema realizada no item a, mas que é a causa principal desta redução de qualidade de resposta observada em malha fechada. Explique com este exemplo o conceito de robustez que está embutido na margem de fase. (1,0)



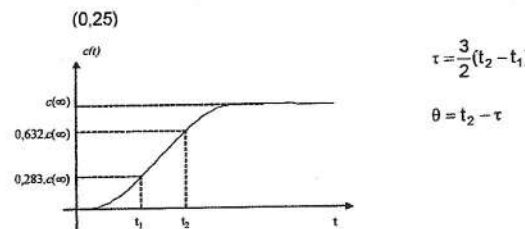
f) Projete um compensador de avanço para que a margem de fase do sistema (considerando a dinâmica simplificada do item (a)) seja de 60°. (1,5)

$$G_c(s) = \frac{1+sT}{1+\alpha sT}$$

- 3) A curva abaixo representa a resposta a um degrau de amplitude 30%, aplicado diretamente na entrada de um processo térmico. O range do transmissor de temperatura é de 0~100°C. Lembre-se que para o controlador, as entradas e saídas são dadas em %. (1,5)



a) Calcule os parâmetros θ, τ de um modelo de primeira ordem com atraso equivalente.



b) Projeto o controlador PID para o processo, usando o método de Ziegler e Nichols (0,25)

Tabela : Método de Ziegler e Nichols para Curva de Reação

Controlador	K_p	T_I	T_D
PID	$12 \frac{1-\tau}{K\theta}$	20	0.50

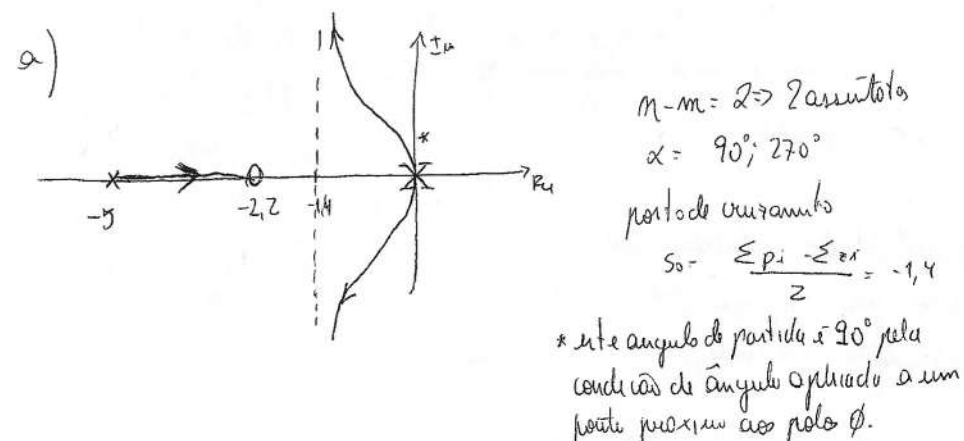
c) O que poderá acontecer com o sistema se houver a substituição do transmissor (sensor) de temperatura para um que possua range de 0~1000°C, sem haver qualquer correção dos ganhos de controle projetados no item b ? (0,5)

d) O que poderá acontecer com o sistema se houver a substituição do transmissor (sensor) de temperatura para um que possua range de 0~30°C, sem haver qualquer correção dos ganhos de controle projetados no item b ? (0,5)

1) $G \cdot G_a = \frac{0,1s + 0,22}{0,12s^3 + 0,6s^2} \Rightarrow$

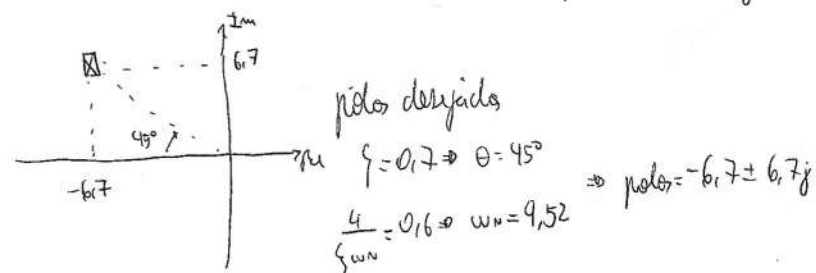
GASARITU (1)

zero: -2,2
polos: 0; 0; -5



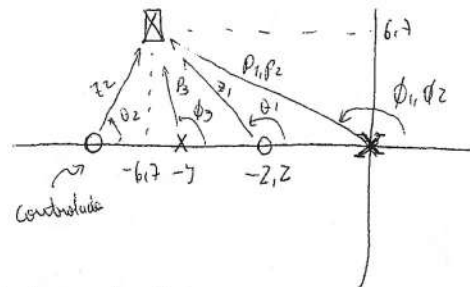
b) $MF(s) = \frac{K \cdot G \cdot G_a}{1 + K \cdot G \cdot G_a} = \frac{(0,1s + 0,22)K}{(0,1s + 0,22)K + (0,12s^3 + 0,6s^2)}$

\Rightarrow Valor final = $\lim_{s \rightarrow 0} \frac{1}{s} \cdot s \cdot MF(s) = 1 \Rightarrow$ sempre, para qualquer ganho K, o sistema em malha fechada terá erro nulo para entrada degrau.



Logo, pelo LPI, localizado no item (a), pode-se ver que estes polos desejados não fazem parte do menu. Isso indica a necessidade de compensação dinâmica.

c)



o controlador introduz um zero em $-1/T_d$ que deveprová o seguinte anexo de fun

$$-135^\circ - 135^\circ - 104^\circ + 124^\circ + \theta_2 = -180^\circ$$

$$\Rightarrow \boxed{\theta_2 = 70^\circ} \Rightarrow \begin{array}{c} 70^\circ \\ \diagdown \\ \frac{1}{T_d} \end{array}$$

por geometria:

$$\phi_1 = \phi_2 = 135^\circ$$

$$P_1 = P_2 = 9,52$$

$$\theta_1 = 124^\circ$$

$$z_1 = 8,1$$

$$\phi_3 = 104^\circ$$

$$P_3 = 6,9$$

②

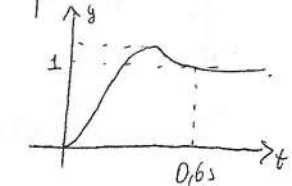
O ganho K_p é definido pelo cond. de módulo:

③

$$\left| K_p \cdot O,11 \cdot \left(\frac{1}{O,11} + s \right) \cdot \frac{O,1 \cdot (s+2,2)}{O,12 \cdot (s+5) \cdot s^2} \right| = 1$$

$$\Rightarrow \frac{O,11 \cdot O,1 \cdot K_p}{O,12} \cdot \frac{8 \cdot 1 \cdot 7 \cdot 13}{9,52 \cdot 9,52 \cdot 6,9} = 1 \Rightarrow \boxed{K_p = 118}$$

Logo $\boxed{G_c = 118 \cdot (1 + O,11s)}$ respostas MF OK!



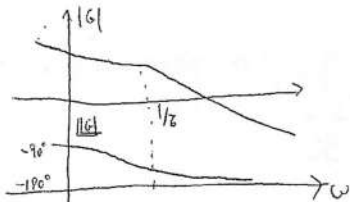
por geometria
 $\frac{1}{T_d} = -9,14 \Rightarrow T_d = 0,11$

1

8

2)

$$a) \frac{X}{V_a} = \frac{K_{MOD}}{S(0.01s+1)}$$



(4)

• em baixa frequência (fase ≈ 90°) identificamos o ganho

$$\Rightarrow K_{MOD} = \frac{20}{10} = 2$$

• Na maior frequência, a qual já se nota uma maior variação de fase (-113°), identificamos a constante de tempo.

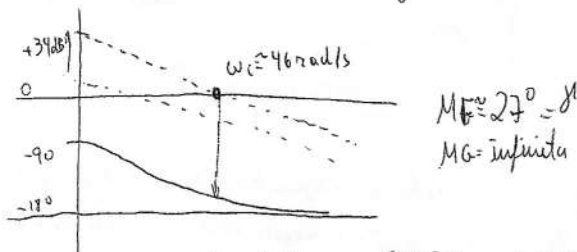
$$\frac{\log(10j\zeta + 1)}{\log(10j\zeta + 1)} = -113^\circ \Rightarrow -100\zeta + 10j = 113^\circ \Rightarrow \frac{10}{-100\zeta} = \tan(113^\circ) \Rightarrow \zeta = 0.0425$$

$$b) \text{erro para entrada rampa} = 0.01 \Rightarrow K_r = 100$$

$$\lim_{s \rightarrow 0} \frac{K_r \cdot 2}{s(0.0425s+1)} = \frac{1}{0.01} \Rightarrow K_r = 50$$

$$c) K_G = \frac{100}{s(0.0425s+1)} \Rightarrow \text{o diagrama de Bode de } \frac{K_G}{s} \text{ é igual ao de } G, \text{ e de forma} \\ \text{transladado de } \frac{20\log 100}{20\log 2} = 34 \text{ dB}$$

Portanto
claramente
uma régua



$$d) \text{Para } \gamma = 27^\circ = MF, \text{ pelo gráfico obtemos } \zeta \approx 0.3, \text{ que equivale a um} \\ \text{ sobreárea } M_p = \exp\left(\frac{-0.3\pi}{\sqrt{1-0.3^2}}\right) = 37\%$$

- e) Não está corrente, pois o sobreárea observada está da ordem de 80%, bem maior do que os 37% esperado.

A dinâmica não modelada $\frac{1}{0.01s+1}$ não seria de fato

probável nos testes em malha aberta que foram realizados apenas no intervalo de 1 a 10 rad/s.

para estas frequências a dinâmica introduziria uma atenuação máxima de $\left|\frac{1}{0.01 \cdot 10j + 1}\right| = 0.995$ e através de fases adicionais de -5.7° . Estes valores podem ser "confundidos" com erros experimentais. Os testes devem considerar maiores frequências para minimizar o efeito desta dinâmica elétrica.

Entretanto, em malha fechada, o sistema com ganho elevado (50) passou a ter frequência de ressonância de aprop. 46 rad/s, a dinâmica elétrica passa a ser notada. Em outras palavras, em malha fechada, o controlador deixa o sistema mais rápido, a dinâmica elétrica (que foi despojada) passa a ser importante.

De fato, na freq. de ressonância 46 rad/s, a dinâmica elétrica introduz um atraso de fase de $\left|\frac{1}{0.01 \cdot 46j + 1}\right| = -24^\circ$, reduzindo

a margem de fase para da ordem de 3° (na realidade, há também uma pequena redução da freq. de ressonância).

Logo, a margem de fase deve ser maior, e ela é uma medida do quanto robusto é o controlador. Robustez é a capacidade de manter desempenho e estabilidade mesmo com imprecisões no modelo ou dinâmicas não modeladas.

f) avanço neutônio

$$60^\circ - 27^\circ = 33^\circ$$

variação de ângulo 6° o mais $\Rightarrow 39^\circ$

$$\tan 39^\circ = \frac{1-k}{1+k} \Rightarrow k = 0,23$$

nova freq de oscilamento $\omega = 2\pi \log \left(\frac{1}{\sqrt{2}} \right) = -6,43 \text{ rad/s}$

$$\Rightarrow \frac{100}{|j\omega(0,042j\omega+1)|} : \sqrt{0,23} \Rightarrow \omega = 68,5 \text{ rad/s} \triangleq \text{novo oscilamento}$$

$$\Rightarrow T \approx 68,5 = \frac{1}{\sqrt{2}\omega} \Rightarrow T = \frac{1}{\sqrt{0,23 \cdot 68,5}} = 0,03$$

Logo

$$G_c(s) = \frac{1+0,03s}{1+0,0069s} \rightarrow \text{verifica} \quad M_F = 58^\circ \text{ e } 68 \text{ rad/s}$$

(6)

3) a) $K = \frac{8,5\%}{30\%} = 0,28$

(7)

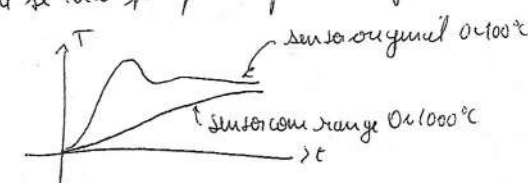
$$\begin{cases} t_1 = 5,28 \\ t_2 = 9,65 \end{cases} \quad \begin{cases} \text{graficamente} \\ \Rightarrow \end{cases} \begin{cases} 5,66s \\ 0,30s \end{cases}$$

b) $K_p = 9,4$

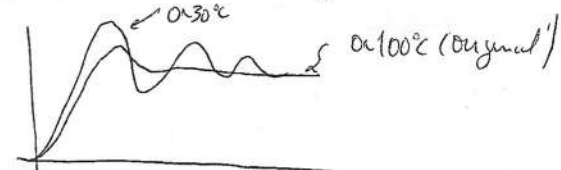
$$\begin{cases} T_i = 20 = 6s \\ T_d = 0,10 = 0,1s \end{cases} \quad \begin{cases} \text{ganho do PID} \\ K_p \left(1 - \frac{1}{T_i} + \frac{1}{T_d} \right) \end{cases}$$

c) O ganho em malha aberta é igual ao ganho da planta, multiplicado pelo ganho do sensor.

Logo, se usar um sensor com range maior, logo menor ganho, o ganho em malha aberta se reduz (nesto caso, de um fator 10). Assim o erro tipo ficará maior, levando-se em conta a ação do ganho kp.



d) Malajunte, nesse caso o ganho em Malha aberta é 3,3, o que fará o sistema ser muito oscilatório, ou instável, em malha fechada, caso não se corrigir o kp



(8)